

# DSO 初始化笔记

赵世博, 王鹏

August 2019

## 1 DSO 介绍

DSO 的全称是 Direct Sparse Odometry, 是一种将直接法和稀疏法相结合的视觉里程计. 由于它不是完整的 SLAM 系统, 因此它不包含回环检测, 地图复用等功能, 无法消除累计误差. 由于 DSO 是直接对整张图像内提取强度梯度明显变化的像素点, 而不依赖环境中某个特定的特征点和描述子, 因此该方法有望解决弱纹理场景下的位姿估计问题, 即室内白墙等.

**直接法与特征点法区别** 这里简单总结一下直接法与特征点法的区别 [7], 如图 1所示.

### 1.1 DSO 算法程序结构

DSO 整体代码由四个部分组成: 系统与各算法集成于 `src/FullSystem`, 后端优化位于 `src/OptimizationBackend`, 这二者组成了 DSO 大部分核心内容。`src/Utils` 和 `src/IOWrapper` 为一些去畸变、数据集读写和可视化 UI 代码。本文主要解析 DSO 初始化操作.

## 2 DSO 初始化流程

DSO 初始化主要是对前两帧进行处理, 本文将对初始化过程所遇到的主要函数进行介绍, 主要的步骤如图 2所示。

直接法与特征点法比较	
直接法	特征点法
<div>优化目标：最小化光度误差</div>	<div>优化目标：最小化几何误差</div>
<div>位姿求解：将数据关联(data association)与位姿估计放在一起，构建统一非线性优化问题，属于耦合</div>	<div>位姿求解：数据关联(data association)与位姿估计分步求解，先特征匹配得到关联，再位姿估计，属于解耦</div>
<div>数据关联：直接法并没有“一一对应的匹配”，空间中的3D点并不需要<math>i1-j1, i2-j2</math>，只要残差不大，这些点都可认为对应相同的空间3D点</div>	<div>数据关联：严重依赖特征提取，要求正确的“一一对应匹配”</div>
<div>算法优点：省去特征匹配时间 只需要像素梯度，可用于弱纹理场景 可构建半稠密，或稠密地图</div>	<div>算法优点：比较适合全局匹配和闭环检测，适合图像帧率低，帧间大运动场景</div>
<div>算法缺点：严重依赖图像梯度求解。但是图像通常是非凸函数，要求帧间小运动；要求图像灰度不变假设，对图像质量要求较高</div>	<div>算法缺点：不适合弱纹理，特征重复场景，如隧道；特征匹配耗时；</div>

图 1: 直接法与特征点法区别

### 3 getImage() | 输入图像

DSO 程序的真正的入口在 ImageAndExposure\* getImage(int id, bool forceLoadDirectly=false) 函数中. 该函数主要完成以下几个步骤:

- 去除光度非线性响应、光晕对图像的影响.(processFrame 函数中)
- 采用插值方式添加图像的随机几何噪声 (option)
- 添加图像的光度噪声.(applyBlurNoise(float\* img) 函数中)(option)

#### 3.1 直接法为什么要进行光度标定？

基于特征点法的位姿估计: 传统的视觉特征如 SIFT, AKAZE, ORB 等, 都一般具有光照不变性, 对图像的亮度值并不敏感, 因此可以直接拿来求解。

基于直接法的位姿估计: 位姿估计主要依赖图像的亮度值, 因此亮度值的准确度会直接影响算法的稳定性和精度。因此, DSO 的作者引入光度标

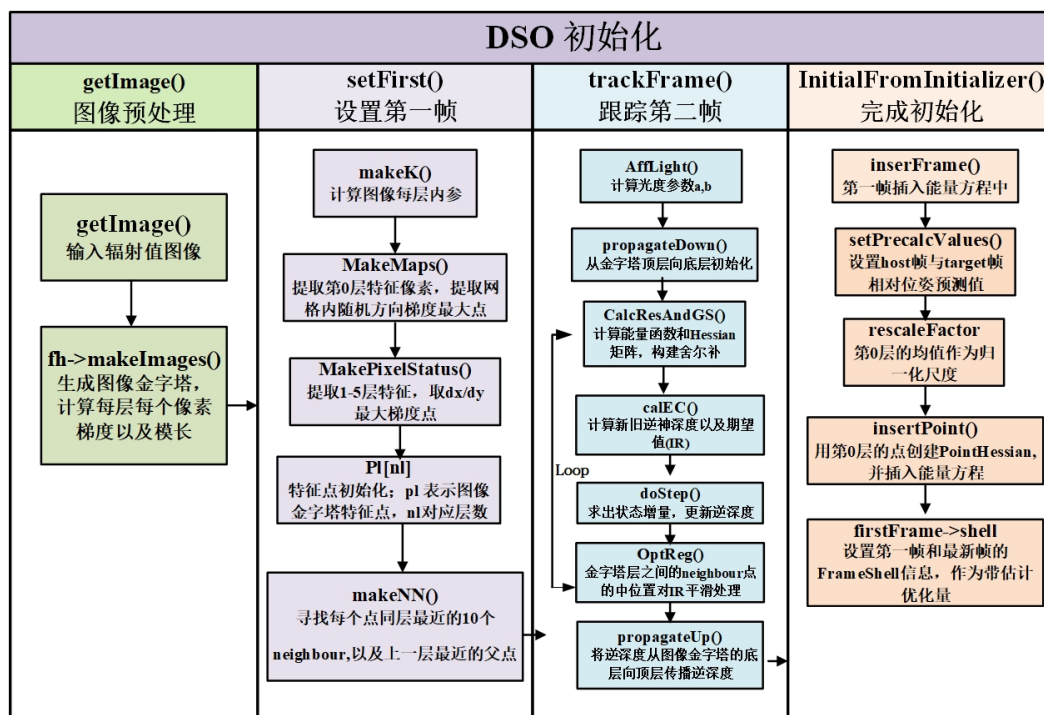


图 2: DSO 初始化结构图

定概念, 通过构建光度模型, 从而实现图像亮度纠正。图 3展示的是相机拍摄的一张纯色图片, 理论上这张图片的各个像素值应该是相等的, 但是实际统计过程中, 我们发现真实的像素值并不一样。

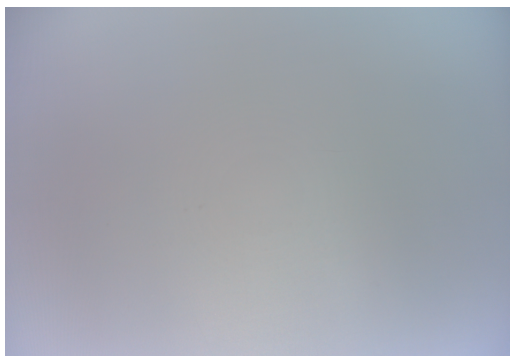


图 3: 相机拍摄的纯色图片

统计结果如 4 所示，你会发现图像边缘的像素与图像中心点的像素可能会差 2 倍，这种图像如果不进行光度标定，显然可能会影响 DSO 估计位姿的精度。

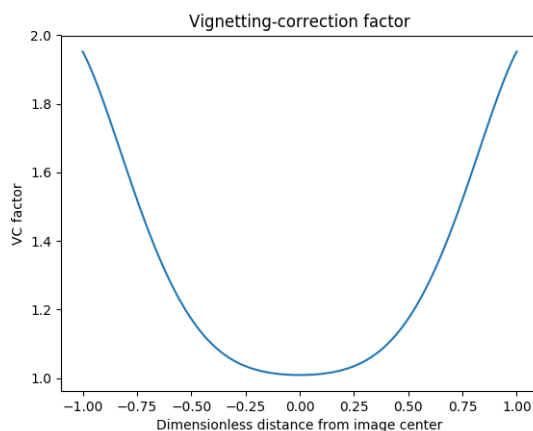


图 4: 纯色图片像素值变化曲线

### 3.2 光度标定都标定哪些参数？

根据相关光度标定论文 [1]，作者给出的相机光度模型如下所示：

$$I(\mathbf{x}) = G(tV(\mathbf{x})B(\mathbf{x})) \quad (1)$$

- $G$  为相机的响应函数 (response function)，其阈值是离散的 (0-255)，是传感器的固有属性
- $V$  为归一化的渐晕函数 (vignette)，作者用一个和图像一样大的权重矩阵，来表示其对每个像素的影响
- $t$  表示曝光时间。对于 rolling shutter 相机，每一帧的  $t$  都不相同
- $B$  表示不受光学模块影响的是辐射值图像
- $I$  表示输出的图像

### 3.3 作者是怎么标定的？

作者主要标定两个参数，第一个是相机响应函数 (Response Calibration); 第二个是渐晕标定 (Vignette Calibration)[2]

#### 相机响应函数标定 (Response Calibration)

作者采用非参数估计的方法进行标定。具体来讲，作者将相机固定，对着在静态固定的场景，在相机不同的曝光时间下，重复拍照得到一系列图像。由于场景不变，因此相机的辐射值图像  $B$  是不变的。这里我们令  $B'(\mathbf{x}) := V(\mathbf{x})B(\mathbf{x})$ . 公式 1 就可以写成如下形式：

$$I(\mathbf{x}) = G(tB'(\mathbf{x})) \quad (2)$$

由于作者求解的是响应函数的反函数  $U(I(\mathbf{x})) = G^{-1}$ , 并且假设  $U(I(\mathbf{x}))$  上有一个零均值的高斯噪声，那么公式 2 可以写成如下形式：

$$U(I_i(\mathbf{x})) = t_i B'(\mathbf{x}) + n_i, \quad n_i \sim N(0, \sigma_i^2) \quad (3)$$

通过最大似然估计，给出最小二乘的形式：

$$E(U, B') = \sum_i \sum_{\mathbf{x} \in \Omega} (U(I_i(\mathbf{x})) - t_i B'(\mathbf{x}))^2 \quad (4)$$

第一个求和对应的是不同曝光时间下的所有图像，第二个求和对应的是图像平面上所有的像素点，通过对上式最小化，轮流迭代分别求解出  $U$  和  $B'$ . 最终可得到：

$$U(k)^* = \arg \min_{U(k)} E(U, B') = \frac{\sum_{\Omega_k} t_i B'(\mathbf{x})}{|\Omega_k|} \quad (5)$$

$$B'(\mathbf{x})^* = \arg \min_{B'(\mathbf{x})} E(U, B') = \frac{\sum_i t_i U(I_i(\mathbf{x}))}{\sum_i t_i^2} \quad (6)$$

公式 5  $U(k)$  的求解，是通过非参数方式进行的。由于  $U(k)$  对应一维数组，对应固定的  $k$  值， $U(k)$  也是常量。因此在求解公式 4 中  $U(k)$  相当于对一个变量求导，因此就有：

$$\sum_i \sum_{\mathbf{x} \in \Omega'} (U(k) - t_i B'(\mathbf{x})) = \sum_i \sum_{\mathbf{x} \in \Omega'} U(k) - \sum_i \sum_{\mathbf{x} \in \Omega'} t_i B'(\mathbf{x}) = \sum_{\mathbf{x} \in \Omega_k} U(k) - \sum_{\mathbf{x} \in \Omega_k} t_i B'(\mathbf{x}) = 0 \quad (7)$$

其中  $\Omega' := \{\mathbf{x} | I_i(\mathbf{x}) = k\}$  表示第  $i$  帧图像所有像素值为  $k$  的像素点集合. 这里  $\Omega_k := \{i, \mathbf{x} | I_i(\mathbf{x}) = k\}$  表示所有图像中, 像素值等于  $k$  的像素点集合.

对于  $B'(\mathbf{x})$  同理, 我们将公式 8, 分别对每一个  $B'(\mathbf{x})$  求偏导, 可得:

$$E(U, B') = \sum_{\mathbf{x} \in \Omega} \underbrace{\sum_i (U(I_i(\mathbf{x})) - t_i B'(\mathbf{x}))^2}_{E(U, B', \mathbf{x})} \quad (8)$$

$$2 \sum_i t_i (U(I_i(\mathbf{x})) - t_i B'(\mathbf{x})) = 2 \sum_i t_i U(I_i(\mathbf{x})) - 2 \sum_i t_i^2 B'(\mathbf{x}) \quad (9)$$

### 渐晕标定 (Vignette Calibration)

渐晕标定特使采用非参数化的形式, 作者采用渐晕映射表  $V : \Omega \rightarrow [0, 1]$ . 标定过程是对一块白墙进行采集, 作者假设白墙是理想的朗伯反射面 (Lambertian Surface), 即固定的照明下, 从任意视角上观察都有相同的亮度平面. 作者将 Marker 贴在墙上, 如下图所示:

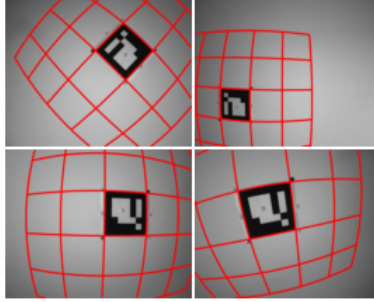


图 5: 晕影标定

从图 5 可知, 作者是在不同的角度对 marker 进行拍摄, 白墙上不同位置的三维点相对于镜头的位置是不一样的, 晕影影响也不一样. 因此需要将白墙变换到相机坐标系, 这里就引入位姿估计问题. 定义 3D 空间到图像平面的映射  $\pi : \mathcal{P} \rightarrow \Omega$ . 通过最大似然化, 得到如下误差方程:

$$E(C, V) = \sum_{i, \mathbf{x} \in \mathcal{P}} (t_i V([\pi_i(\mathbf{x})]) C(\mathbf{x}) - U(I_i(\pi_i(\mathbf{x}))))^2$$

其中  $C$  表示平面点到相机的辐射度 irradiance, 属于未知变量. 通过交

替代求解最小化  $C$  和  $V$ , 可以得到 (方法与求解响应函数类似):

$$C^*(\mathbf{x}) = \arg \min_{C(\mathbf{x})} E(C, V) = \frac{\sum_i t_i V([\pi_i(\mathbf{x})]) U(I_i(\pi_i(\mathbf{x})))}{\sum_i (t_i V([\pi_i(\mathbf{x})]))^2} \quad (10)$$

$$V^*(\mathbf{x}) = \arg \min_{V(\mathbf{x})} E(C, V) = \frac{\sum_i t_i C(\mathbf{x}) U(I_i(\pi_i(\mathbf{x})))}{\sum_i (t_i C(\mathbf{x}))^2} \quad (11)$$

**最终目标:** 通过前文标定出相机的响应函数  $G$  以及渐晕  $V$ , 我们就可以通过公式反解算出辐射值  $B$ 。最终我们通过辐射值  $B$  去做直接法。

$$I'_i(\mathbf{x}) := t_i B_i(\mathbf{x}) = \frac{G^{-1}(I_i(\mathbf{x}))}{V(\mathbf{x})} \quad (12)$$

### 3.4 makeImages() | 构建金字塔

- makeImages 函数对每一帧图像构建金字塔, 并计算各层金字塔图像的像素值和梯度.
- 其中 dIp 表示每一层图像的像素值、x 方向梯度、y 方向梯度; absSquaredGrad 存储 xy 方向梯度值的平方和

## 4 setFirst() | 设置第一帧

### 4.1 makeK() | 计算图像每层内参

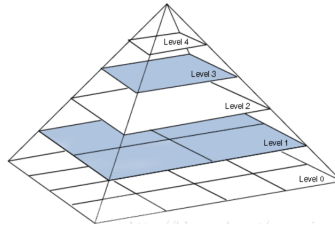


图 6: 图像金字塔

- 构建 0-5 层图像金字塔, 并设置每层对应的内参, 见图 6

## 4.2 MakeMaps()| 图像第 0 层提取梯度最大点

该函数主要进行的操作有:

### 4.2.1 makeHists()| 计算梯度直方图

- 将图像划分为固定的 block, 每个 block 大小固定为  $32 \times 32$
- 在每个 block 内创建直方图 hist0
- 统计直方图 hist0 中像素数目占百分之 50 对应的梯度作为阈值 ths
- 对阈值进行  $3 \times 3$  的均值滤波, 得到 thsSmoothed

### 4.2.2 PixelSelector::select()| 在当前帧选择符合条件的像素

按照不同层选取点的密度  $\text{density}[] = 0.03, 0.05, 0.15, 0.5, 1$  在当前帧上选择符合条件的像素, 同时通过划分网格保证提取的特征点分布均匀, 见算法 1

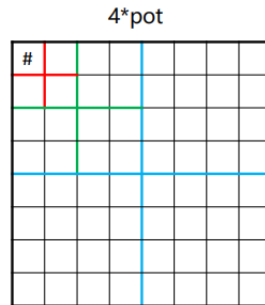


图 7: 图像金字塔

---

#### Algorithm 1 第 0 层金字塔图像特征选择

---

**Input:** 输入需要的梯度点的数目  $N_{des}$

**Result:** 输出选择的梯度点

- 1: 初始化选择的梯度点为空 as  $\{\emptyset\}$ ,  $N_{sel} = 0$ ;
- 2: **while**  $N_{sel} < N_{des}$  **do**
- 3:   将图像  $M$  划分为  $d \times d$  blocks
- 4:   **for** 每个  $4d \times 4d$  蓝色 block **do**



```

5:   for 每个  $2d \times 2d$  绿色 block do
6:       for 每个  $d \times d$  红色 blocks do
7:           遍历每一个像素，对应图像金字塔第 0 层梯度，阈值为 (thsS-
              smoothed)，并且梯度最大的像素；
8:       end for
9:       if 如果红色 block 没有选择梯度点 then
10:           在绿色 block 中选择梯度点，对应金字塔第 1 层的梯度，阈值为
              为红色 block 的 0.75 倍；
11:       end if
12:   end for
13:   if 如果绿色 block 中没有选择梯度点 then
14:       在蓝色 block 中选择梯度点，对应图像金字塔第 2 层，阈值为绿
              色的 0.75 倍；
15:   end if
16:   end for
17:    $N_{sel} = N_{sel} +$  新第 0,1,2 层梯度点的数目；
18: end while

```

---

### 4.3 makePixelStatus()| 提取 1-5 层特征点

- 同样动态调节 pot 的大小，保证提取合适数目
- 每个 pot 内梯度大于阈值，且  $\text{gradx}/\text{grady}/\text{gradx}-\text{grady}/\text{gradx}+\text{grady}$  中有最大值则被选中

```

    if(sqgd > TH*TH)
    {
float agx = fabs((float)g[1]);
if(agx > bestXX) {bestXX=agx; bestXXID=idx;}

float agy = fabs((float)g[2]);
if(agy > bestYY) {bestYY=agy; bestYYID=idx;}

float gxpy = fabs((float)(g[1]-g[2]));
if(gxpy > bestXY) {bestXY=gxpy; bestXYID=idx;}

float gxmy = fabs((float)(g[1]+g[2]));

```

```
if(gxmy > bestYX) {bestYX=gxmy; bestYXID=idx;}
}
```

#### 4.4 pl[nl] | 构建特征点

特征点初始化，在选中的像素中，添加特征点信息 pl[nl]，表示图像金字塔第几层提取特征点，nl 表示第几层 point.

```
pl[nl].u = x+0.1;
pl[nl].v = y+0.1;
pl[nl].idepth = 1;
pl[nl].iR = 1;
pl[nl].isGood=true;
pl[nl].energy.setZero();
pl[nl].lastHessian=0;
pl[nl].lastHessian_new=0;
pl[nl].my_type= (lv1!=0) ? 1 : statusMap[x+y*wl];
```

#### 4.5 makeNN() | Kdtree 寻找每个点的临近点与父点

寻找每个点同层最近 10 个 neighbour 以及上一层最近的父点，见图 8

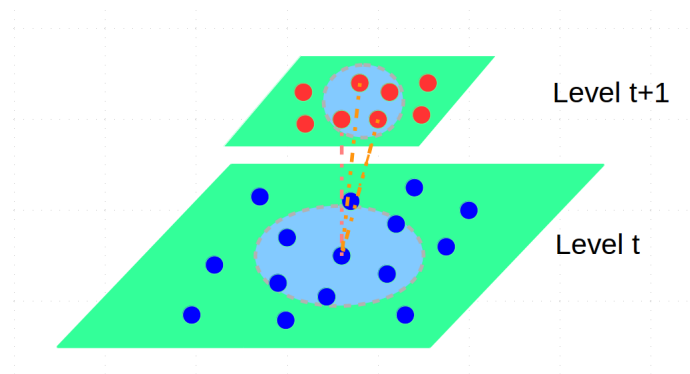


图 8: makeKNN

## 5 TrackFrame() | 跟踪第二帧

该函数主要进行的操作有:

- AffLight() 函数粗略估计相邻两帧的相对光度参数.
- propagateDown() 函数从金字塔顶层向底层初始化, 主要是 iR.
- calcResAndGS() 函数构建相邻两帧的能量函数误差以及对应的 hessian 矩阵, 舍尔补
- calEC() 构建新旧帧逆深度以及期望值 IR
- 迭代求解状态变量, 在 dostep 函数中更新逆深度
- OptReg() 金字塔层之间的 neighbour 点中的位置对 IR 平滑处理
- propagateUp() 将逆深度从图像金字塔的底层向顶层传播

### 5.1 基于直接法的光度误差公式推导

这部分内容主要参考涂金戈和林突破两位大佬的公式推导 [5][6].

#### 5.1.1 光度仿射变换

与传统 Visual SLAM 方法不同, DSO 每一帧输入图像都需要完成光度仿射变换。这是因为传统的 Visual SLAM 方法大多依赖视觉特征, 这些特征大多具有光照不变性。而直接法则是直接使用图像的像素值, 这就导致图像亮度准确度将直接影响算法的精度和稳定性。因此, 作者通过引入光度仿射变换来对图像的亮度进行补偿。

光度仿射变换是建立前后两帧图像之间辐射值对应关系, 对应光度参数  $[a, b]$ . 假设第一帧 (参考帧) 辐射值而为  $I_1$ , 第二帧 (当前帧) 辐射值为  $I_2$ , 那么参考帧与当前帧辐射值存在如下关系,

$$I_2(\mathbf{p}_2) = \exp(a_{21})I_1(\mathbf{p}_1) + b_{21} \quad (13)$$

$$\exp(a_{21}) = \frac{e^{a_2} \Delta t_2}{e^{a_1} \Delta t_1} \quad (14)$$

$$b_{21} = b_2 - \exp(a_{21})b_1 \quad (15)$$

其中  $\Delta t_1, \Delta t_2$  表示曝光的时间.

由于本文现在讨论的是初始化过程, DSO 在初始化时设置的参数是参考帧的  $[a_1, b_1] = [0, 0]$ ,  $a_2 = a_1$ , 所以上式便可以退化如下所示:

$$\exp(a_{21}) = \frac{\Delta t_2}{\Delta t_1} \quad (16)$$

$$b_{21} = b_2 \quad (17)$$

$\exp(a_{21}) = \frac{\Delta t_2}{\Delta t_1}$  表示前后帧相对光度变换参数. 在 DSO 初始化代码中  $a_{21} = \ln(\frac{\Delta t_2}{\Delta t_1})$  是 DSO 初始化中真正优化的光度参数.

```
if(firstFrame->ab_exposure>0 && newFrame->ab_exposure>0)
refToNew_aff_current = AffLight(logf(newFrame->ab_exposure /
firstFrame->ab_exposure),0); // coarse approximation.
```

### 5.1.2 光度误差

假设参考帧坐标系下的一个空间 3D 点为  $\mathbf{P}_1$ , 其对应参考坐标系下的坐标为  $\mathbf{p}_1$ , 其对应的逆深度初始化为  $\rho_1 = 1$ , 并且已知内参  $K$ . 那么存在如下逆投影变换关系  $\pi^{-1}(\mathbf{x})$ , 即:

$$\mathbf{P}_1 = \pi^{-1}(\mathbf{p}_1) = \mathbf{K}^{-1}\mathbf{p}_1/\rho_1 \quad (18)$$

那么当前帧中的像素坐标  $\mathbf{p}_2$  可以写成如下的形式 (即  $\mathbf{p}_2$  是由  $\mathbf{p}_1$  投影而来, 投影的过程需要知道两帧之间的相对位姿  $\xi_{21}$  和  $\mathbf{p}_1$ , 以及参考帧对应的逆深度  $\rho_1$ )

$$\mathbf{p}_2 = f(p_1, \xi_{21}, \rho_1) = \pi(\exp(\xi_{21}^\Lambda) \mathbf{P}_1) = \pi(\exp(\xi_{21}^\Lambda) \pi^{-1}(\mathbf{p}_1)) \quad (19)$$

根据光照不变性假设, 我们可以定义单个像素点的误差存在如下关系:

$$r = w_h(I_2[p_2] - (\exp(a_{21})I_1[p_1] + b_{21})) \quad (20)$$

其中  $w_h$  是 huber 权重.

值得一提的是, DSO 算法中每个投影点是与周围 8 个点组成 Pattern, 来共同构建参差, 这 8 个点是为了方便 SSE, 在优化中共享中间点的深度.

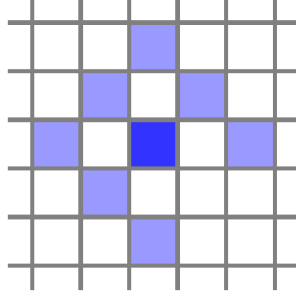


图 9: pattern 图案

对每个点的误差加权求和之后得到整体的残差能量函数 (Huber 范数形式):

$$E_{\mathbf{p}} = \sum_{\mathbf{p}_i \in \mathcal{N}(\mathbf{p})} w_{\mathbf{h}} \|I_2(\mathbf{p}_2) - \exp(a_{21})I_1(\mathbf{p}_1) - b_{21}\|_{\gamma} = \sum_{\mathbf{p}_1 \in \mathcal{N}(\mathbf{p})} w_{\mathbf{h}} H(r(\mathbf{p}_1)) \quad (21)$$

其中:

$$w_{\mathbf{h}} = \frac{c^2}{c^2 + \|\nabla I(\mathbf{p})\|_2^2} \quad (22)$$

用来平衡高梯度点的权重正常的 Huber 范数可以写成如下形式:

$$H(r) = \begin{cases} r^2/2 & , |r| < \sigma \\ \sigma(|r| - \sigma/2) & , |r| \geq \sigma \end{cases} \quad (23)$$

在实际 DSO 代码中  $\sigma$  是一个常数, 设为 9:

$$w_h = \begin{cases} 1 & , |r| < \sigma \\ \sigma/|r| & , |r| \geq \sigma \end{cases} \quad (24)$$

## 5.2 光度误差函数求导

首先再次确定一下误差方程:

$$f(x) = E_{\mathbf{p}} = \sum_{\mathbf{p}_i \in \mathcal{N}(\mathbf{p})} w_{\mathbf{h}} \|I_2(\mathbf{p}_2) - \exp(a_{21})I_1(\mathbf{p}_1) - b_{21}\|_{\gamma} \quad (25)$$

由于误差函数待优化的变量有光度参数  $[a, b]$ , 估计位姿  $\xi_{21}$ , 以及逆深度  $\rho_1$ , 即状态变量为  $x = \left[ \rho_1^{(1)}, \dots, \rho_1^{(N)}, \xi_{21}, a, b \right]_{(N+8) \times 1}^T = [\mathbf{x}_\alpha, \mathbf{x}_\beta]^T$  因此我们需要对他们分别求导

- 光度参数求导
- 位姿状态变量求导
- 逆深度求导

### 5.2.1 光度参数求导

$$\frac{\partial f(\mathbf{x})}{\partial a_{21}} = -w_h \exp(a_{21}) I_1(\mathbf{p}_1) \quad (26)$$

$$\frac{\partial r_{21}}{\partial b_{21}} = -w_h \quad (27)$$

### 5.2.2 相对位姿求导

根据链式法则, 则有:

$$\frac{\partial f(\mathbf{x})}{\partial \xi_{21}} = \frac{\partial f(\mathbf{x})}{\partial \mathbf{p}_2} \frac{\partial \mathbf{p}_2}{\partial \xi_{21}} \quad (28)$$

设  $\nabla I_x, \nabla I_y$  分别为  $\mathbf{p}_2$  处的水平和垂直方向上的梯度, 则公式 (28) 第一部分:

$$\frac{\partial f(\mathbf{x})}{\partial \mathbf{p}_2} = w_h \frac{\partial I_2(\mathbf{p}_2)}{\partial \mathbf{p}_2} = w_h [\nabla I_x, \nabla I_y] \quad (29)$$

公式 (28) 第二部分同样根据链式法则有:

$$\frac{\partial \mathbf{p}_2}{\partial \xi_{21}} = \frac{\partial \mathbf{p}_2}{\partial \mathbf{P}_2} \frac{\partial \mathbf{P}_2}{\partial \xi_{21}} \quad (30)$$

我们先看公式 (30) 第一部分, 关于像素坐标和空间坐标的关系, 通过相机模型公式 (31) 可知:

$$\begin{bmatrix} u_2 \\ v_2 \\ 1 \end{bmatrix} = \rho_2 \begin{bmatrix} f_x & 0 & c_x \\ 0 & f_y & c_y \\ 0 & 0 & 1 \end{bmatrix} \begin{bmatrix} X_2 \\ Y_2 \\ Z_2 \end{bmatrix} \quad (31)$$

$$u = f_x \frac{X_2}{Z_2} + c_x, \quad v = f_y \frac{Y_2}{Z_2} + c_y \quad (32)$$

这里  $\rho_2 = 1/Z_2, \mathbf{P}_2 = [X_2, Y_2, Z_2]^T$  如果不考虑齐次项的话, 我们可以得到公式 (33):

$$\frac{\partial \mathbf{p}_2}{\partial \mathbf{P}_2} = \begin{bmatrix} \frac{\partial u_2}{\partial X_2} & \frac{\partial u_2}{\partial Y_2} & \frac{\partial u_2}{\partial Z_2} \\ \frac{\partial v_2}{\partial X_2} & \frac{\partial v_2}{\partial Y_2} & \frac{\partial v_2}{\partial Z_2} \end{bmatrix} = \begin{bmatrix} \rho_2 f_x & 0 & -\rho_2^2 f_x X_2 \\ 0 & \rho_2 f_y & -\rho_2^2 f_y Y_2 \end{bmatrix} \quad (33)$$

接下来, 我们考虑公式 (30) 第二部分, 根据左乘扰动模型, 给定一个微小扰动  $\Delta \mathbf{T} = \exp(\delta \xi^\wedge)$ , 其中  $\delta \xi = [\delta \eta, \delta \phi]^T$ , 根据视觉 SLAM14 讲, 我们存在如下关系:

$$\begin{aligned} \frac{\partial \mathbf{P}_2}{\partial \xi} &= \lim_{\delta \xi \rightarrow 0} \frac{\exp(\delta \xi^\wedge) \mathbf{P}_2 - \mathbf{P}_2}{\delta \xi} \\ &\approx \lim_{\delta \xi \rightarrow 0} \frac{(\mathbf{I} + \delta \xi^\wedge) \mathbf{P}_2 - \mathbf{P}_2}{\delta \xi} \\ &= \lim_{\delta \xi \rightarrow 0} \frac{\delta \xi^\wedge \mathbf{P}_2}{\delta \xi} \\ &= \lim_{\delta \xi \rightarrow 0} \frac{\begin{bmatrix} \delta \phi^\wedge & \delta \eta \\ \mathbf{0}^T & 0 \end{bmatrix} \begin{bmatrix} \mathbf{P}_2 \\ 1 \end{bmatrix}}{\delta \xi} \\ &= \begin{bmatrix} \mathbf{I} & -\mathbf{P}_2^\wedge \\ \mathbf{0}^T & \mathbf{0}^T \end{bmatrix} \end{aligned} \quad (34)$$

我们将公式 (34) 求导结果展开, 可以得到公式 (35)

$$\frac{\partial \mathbf{P}_2}{\partial \xi} = \begin{bmatrix} \mathbf{I} & -\mathbf{P}_2^\wedge \end{bmatrix} = \begin{bmatrix} 1 & 0 & 0 & 0 & Z_2 & -Y_2 \\ 0 & 1 & 0 & -Z_2 & 0 & X_2 \\ 0 & 0 & 1 & Y_2 & -X_2 & 0 \end{bmatrix} \quad (35)$$

我们将公式 (35), 公式 (33) 的结果带入到公式 (30), 可以得到:

$$\begin{aligned} \frac{\partial \mathbf{p}_2}{\partial \xi} &= \begin{bmatrix} \rho_2 f_x & 0 & -\rho_2^2 f_x X_2 & -\rho_2^2 f_x X_2 Y_2 & f_x + \rho_2^2 f_x X_2^2 & -\rho_2 f_x Y_2 \\ 0 & \rho_2 f_y & -\rho_2^2 f_y Y_2 & -f_y - \rho_2^2 f_y Y_2^2 & \rho_2^2 f_y X_2 Y_2 & \rho_2 f_y X_2 \end{bmatrix} \\ &= \begin{bmatrix} \rho_2 f_x & 0 & -\rho_2 f_x u'_2 & -f_x u'_2 v'_2 & f_x + f_x u'^2_2 & -f_x v'_2 \\ 0 & \rho_2 f_y & -\rho_2 f_y v'_2 & -f_y - f_y v'^2_2 & f_y u'_2 v'_2 & f_y u'_2 \end{bmatrix} \end{aligned} \quad (36)$$

其中  $u'_2 = X_2/Z_2, v'_2 = Y_2/Z_2$  为归一化坐标. 最终公式 (29) 求导结果如下所示:

$$\frac{\partial f(\mathbf{x})}{\partial \xi} = w_h \begin{bmatrix} \nabla I_x \rho_2 f_x \\ \nabla I_y \rho_2 f_y \\ -\rho_2 (\nabla I_x f_x u'_2 - \nabla I_y f_y v'_2) \\ -\nabla I_x f_x u'_2 v'_2 - \nabla I_y f_y (1 + v'_2) \\ \nabla I_x f_x (1 + u'^2_2) + \nabla I_y f_y u'_2 v'_2 \\ -\nabla I_x f_x v'_2 + \nabla I_y f_y u'_2 \end{bmatrix} \quad (37)$$

### 5.2.3 逆深度求导

根据链式法则

$$\frac{\partial f(\mathbf{x})}{\partial \rho_1} = \frac{\partial f(\mathbf{x})}{\partial \mathbf{p}_2} \frac{\partial \mathbf{p}_2}{\partial \rho_1} \quad (38)$$

上式第一部分已有公式 (29) 给出, 第二部分继续分解:

$$\frac{\partial \mathbf{p}_2}{\partial \rho_1} = \frac{\partial \mathbf{p}_2}{\partial \mathbf{P}_2} \frac{\partial \mathbf{P}_2}{\partial \rho_1} \quad (39)$$

其中公式 (39) 第一部分已经公式 (33) 中得到, 现考虑第二部分, 已知

$$\mathbf{P}_2 = \mathbf{R}\mathbf{K}^{-1}\mathbf{P}_1/\rho_1 + \mathbf{t} \quad (40)$$

那么就有:

$$\frac{\partial \mathbf{P}_2}{\partial \rho_1} = -\frac{\mathbf{R}\mathbf{K}^{-1}\mathbf{P}_1}{\rho_1^2} = -\rho_1^{-1}(\mathbf{P}_2 - \mathbf{t}) = -\rho_1^{-1} \begin{bmatrix} X_2 - t_x & Y_2 - t_y & Z_2 - t_z \end{bmatrix}^T \quad (41)$$

结合公式 (33) 和 (39), 公式 (41), 我们可以得到:

$$\frac{\partial \mathbf{p}_2}{\partial \rho_1} = -\rho_1^{-1} \rho_2 \begin{bmatrix} f_x (u'_2 t_z - t_x) \\ f_y (v'_2 t_z - t_y) \end{bmatrix} \quad (42)$$

将结果带入到公式 (38) 得:

$$\frac{\partial f(\mathbf{x})}{\partial \rho_1} = \rho_1^{-1} \rho_2 (\nabla I_x f_x (t_x - u'_2 t_z) + \nabla I_y f_y (t_y - v'_2 t_z)) \quad (43)$$



至此, 我们已经对所有的状态变量完成求导过程, 逆深度状态变量  $\mathbf{X}_\alpha$  的雅克比矩阵我们用  $\mathbf{J}_\alpha = \left[ \frac{\partial f(\mathbf{x})}{\partial \rho_1^{(1)}}, \dots, \frac{\partial f(\mathbf{x})}{\partial \rho_1^{(N)}} \right]_{1 \times N}$  表示. 估计的位姿状态以及光度参数  $a, b$ , 我们用  $\mathbf{J}_\beta = \left[ \frac{\partial f(\mathbf{x})}{\partial \xi}, \frac{\partial f(\mathbf{x})}{\partial a}, \frac{\partial f(\mathbf{x})}{\partial b} \right]_{1 \times 3}$ . 总的雅克比矩阵表示为  $\mathbf{J} = [\mathbf{J}_\alpha, \mathbf{J}_\beta]_{1 \times (N+3)}$

### 5.3 估计状态求解

首先我们回顾一下基础知识, 已知误差方程可以在当前状态一阶展开:

$$f(\mathbf{x} + \Delta \mathbf{x}) \approx f(\mathbf{x}) + \mathbf{J} \Delta \mathbf{x} \quad (44)$$

我们让误差函数对状态增量求导, 可得:

$$\frac{\partial^1 f^2(\mathbf{x} + \Delta \mathbf{x})}{\partial \Delta \mathbf{x}} = f(\mathbf{x} + \Delta \mathbf{x})^T \frac{\partial f(\mathbf{x} + \Delta \mathbf{x})}{\partial \Delta \mathbf{x}} \approx (f(\mathbf{x}) + \mathbf{J} \Delta \mathbf{x})^T \mathbf{J} \quad (45)$$

另上式等于 0, 则得到增量方程:

$$\mathbf{J}^T \mathbf{J} \Delta \mathbf{x} = -\mathbf{J}^T f(\mathbf{x}) \quad (46)$$

令  $\mathbf{H} = \mathbf{J}^T \mathbf{J}$ ,  $\mathbf{g} = -\mathbf{J}^T f(\mathbf{x})$ , 则可以写成:

$$\mathbf{H} \Delta \mathbf{x} = \mathbf{g} \quad (47)$$

这里我们通过舍尔补的方式对 Hessian 矩阵进行求解.

$$\begin{bmatrix} \mathbf{H}_{\alpha\alpha} & \mathbf{H}_{\alpha\beta} \\ \mathbf{H}_{\beta\alpha} & \mathbf{H}_{\beta\beta} \end{bmatrix} \begin{bmatrix} \mathbf{x}_\alpha \\ \mathbf{x}_\beta \end{bmatrix} = \begin{bmatrix} \mathbf{g}_\alpha \\ \mathbf{g}_\beta \end{bmatrix} \quad (48)$$

其中  $\mathbf{H}_{\alpha\alpha} = \mathbf{J}_\alpha^T \mathbf{J}_\alpha$ ,  $\mathbf{H}_{\alpha\beta} = \mathbf{J}_\alpha^T \mathbf{J}_\beta$ ,  $\mathbf{H}_{\beta\alpha} = \mathbf{J}_\beta^T \mathbf{J}_\alpha$ ,  $\mathbf{H}_{\beta\beta} = \mathbf{J}_\beta^T \mathbf{J}_\beta$ ,  $\mathbf{g}_\alpha = -\mathbf{J}_\alpha^T f(\mathbf{x})$ ,  $\mathbf{g}_\beta = -\mathbf{J}_\beta^T f(\mathbf{x})$

通过舒尔补消元:

$$\begin{bmatrix} \mathbf{I} & \mathbf{0} \\ -\mathbf{H}_{\beta\alpha} \mathbf{H}_{\alpha\alpha}^{-1} & \mathbf{I} \end{bmatrix} \begin{bmatrix} \mathbf{H}_{\alpha\alpha} & \mathbf{H}_{\alpha\beta} \\ \mathbf{H}_{\beta\alpha} & \mathbf{H}_{\beta\beta} \end{bmatrix} \begin{bmatrix} \mathbf{x}_\alpha \\ \mathbf{x}_\beta \end{bmatrix} = \begin{bmatrix} \mathbf{I} & \mathbf{0} \\ -\mathbf{H}_{\beta\alpha} \mathbf{H}_{\alpha\alpha}^{-1} & \mathbf{I} \end{bmatrix} \begin{bmatrix} \mathbf{g}_\alpha \\ \mathbf{g}_\beta \end{bmatrix}$$

$$\begin{bmatrix} \mathbf{H}_{\alpha\alpha} & \mathbf{H}_{\alpha\beta} \\ \mathbf{0} & -\mathbf{H}_{\beta\alpha} \mathbf{H}_{\alpha\alpha}^{-1} \mathbf{H}_{\alpha\beta} + \mathbf{H}_{\beta\beta} \end{bmatrix} \begin{bmatrix} \mathbf{x}_\alpha \\ \mathbf{x}_\beta \end{bmatrix} = \begin{bmatrix} \mathbf{g}_\alpha \\ -\mathbf{H}_{\beta\alpha} \mathbf{H}_{\alpha\alpha}^{-1} \mathbf{g}_\alpha + \mathbf{g}_\beta \end{bmatrix} \quad (49)$$

令  $\mathbf{H}_\phi = \mathbf{H}_{\beta\alpha} \mathbf{H}_{\alpha\alpha}^{-1} \mathbf{H}_{\alpha\beta}$ ,  $\mathbf{g}_\phi = \mathbf{H}_{\beta\alpha} \mathbf{H}_{\alpha\alpha}^{-1} \mathbf{g}_\alpha$

$$\mathbf{x}_\beta = (\mathbf{H}_{\beta\beta} - \mathbf{H}_\phi)^{-1} (\mathbf{g}_\beta - \mathbf{g}_\phi) \quad (50)$$

$$\mathbf{x}_\alpha = \mathbf{H}_{\alpha\alpha}^{-1} (\mathbf{g}_\phi - \mathbf{H}_{\alpha\beta} \mathbf{x}_\beta) \quad (51)$$

我们将  $\mathbf{H}_\phi, \mathbf{g}_\phi$  展开,  $\mathbf{H}_{\alpha\alpha}^{-1} = (\mathbf{H}_{aa} \mathbf{H}_{aa} \mathbf{H}_{aa}^{-1})^{-1} = (\mathbf{J}_\alpha^T \mathbf{J}_\alpha \mathbf{J}_\alpha^T \mathbf{J}_\alpha \mathbf{H}_{\alpha\alpha}^{-1})^{-1} = (\mathbf{J}_\alpha^T \mathbf{J}_\alpha \mathbf{H}_{\alpha\alpha}^{-1})^{-1} / (\mathbf{J}_\alpha \mathbf{J}_\alpha^T) = \mathbf{I} / (\mathbf{J}_\alpha \mathbf{J}_\alpha^T)$

$$\mathbf{H}_\phi = \frac{1}{\mathbf{J}_\alpha \mathbf{J}_\alpha^T} (\mathbf{J}_\alpha^T \mathbf{J}_\beta)^T \mathbf{J}_\alpha^T \mathbf{J}_\beta \quad (52)$$

$$\mathbf{g}_\phi = -\frac{1}{\mathbf{J}_\alpha \mathbf{J}_\alpha^T} (\mathbf{J}_\alpha^T \mathbf{J}_\beta)^T \mathbf{J}_\alpha^T f(\mathbf{x}) \quad (53)$$

这里的  $\mathbf{H}_\phi, \mathbf{g}_\phi$  就是代码中的 Hsc,bsc,  $\mathbf{H}_{\beta\beta}, \mathbf{g}_\beta$  就是代码中的 H,b, 此外, DSO 在迭代的过程中设置了一个参数 lambda 来调整下一次的迭代, 类似于列文伯格方法中的 :

$$(\mathbf{H} + \lambda \mathbf{D}^T \mathbf{D}) \Delta \mathbf{x} = \mathbf{g} \quad (54)$$

DSO 为了使  $[H, b]$  (见图 10) 变为对角阵, 在  $[H, b]$  右下角加了一个元素, 组成了  $9 \times 9$  的方阵, 由于 H 矩阵具有对称性, 所以只需求解  $\frac{9+1}{2} * 9 = 45$ , 此外为了加速求解 H, b 的系数, 采用了 SSE 加速, SSE 可以同时处理 4 个单精度的浮点数计算, 所以需要存储  $45 \times 4$  个 float 数

$x$	$y$	$z$	$roll$	$pitch$	$yaw$	$a$	$b$	$b_{\alpha\alpha}$
${}^1J_x^T {}^1J_x$	${}^1J_x^T {}^1J_y$	${}^1J_x^T {}^1J_z$	${}^1J_x^T {}^1J_{roll}$	${}^1J_x^T {}^1J_{pitch}$	${}^1J_x^T {}^1J_{yaw}$	${}^1J_x^T {}^1J_a$	${}^1J_x^T {}^1J_b$	${}^1J_x^T * e_1$
	${}^1J_y^T {}^1J_y$	${}^1J_y^T {}^1J_z$	${}^1J_y^T {}^1J_{roll}$	${}^1J_y^T {}^1J_{pitch}$	${}^1J_y^T {}^1J_{yaw}$	${}^1J_y^T {}^1J_a$	${}^1J_y^T {}^1J_b$	${}^1J_y^T * e_1$
		${}^1J_z^T {}^1J_z$	${}^1J_z^T {}^1J_{roll}$	${}^1J_z^T {}^1J_{pitch}$	${}^1J_z^T {}^1J_{yaw}$	${}^1J_z^T {}^1J_a$	${}^1J_z^T {}^1J_b$	${}^1J_z^T * e_1$
			${}^1J_{roll}^T {}^1J_{roll}$	${}^1J_{roll}^T {}^1J_{pitch}$	${}^1J_{roll}^T {}^1J_{yaw}$	${}^1J_{roll}^T {}^1J_a$	${}^1J_{roll}^T {}^1J_b$	${}^1J_{roll}^T * e_1$
				${}^1J_{pitch}^T {}^1J_{pitch}$	${}^1J_{pitch}^T {}^1J_{yaw}$	${}^1J_{pitch}^T {}^1J_a$	${}^1J_{pitch}^T {}^1J_b$	${}^1J_{pitch}^T * e_1$
					${}^1J_{yaw}^T {}^1J_{yaw}$	${}^1J_{yaw}^T {}^1J_a$	${}^1J_{yaw}^T {}^1J_b$	${}^1J_{yaw}^T * e_1$
						${}^1J_a^T {}^1J_a$	${}^1J_a^T {}^1J_b$	${}^1J_a^T * e_1$
							${}^1J_b^T {}^1J_b$	${}^1J_b^T * e_1$
								$e_1^T * e_1$

图 10:  $[H, b]$  矩阵的结构

## 6 IntialFromInitializer()| 完成初始化

- insertFrame() 将第一帧设置成关键帧并插入能量函数中。
- setPrecalcValues() 设置 host 与 target 帧的相对位姿变换，得到估计状态增量 (包括位姿，逆深度).
- resacleFactor 对图像金字塔第 0 层求出归一化尺度
- insertPoint() 用第 0 层的点创建 pointHessian, 并插入能量方程
- firstFrame->shell 设置第一帧和最新帧的待优化量

## 参考文献

- [1] Jakob Engel. A photometrically calibrated benchmark for monocular visual odometry. Accessed April 2, 2019.
- [2] kokerf. Dso 光度标定. <https://blog.csdn.net/kokerf/article/details/80170257>. Accessed April 2, 2019.
- [3] Shibo Zhao. Direct depth slam: Sparse geometric feature enhanced direct depth slam system for low-texture environments. <https://www.mdpi.com/1424-8220/18/10/3339>. Accessed April 2, 2019.
- [4] Shibo Zhao. A robust laser-inertial odometry and mapping method for large-scale highway. <https://youtu.be/AQJ9wFK8jwQ>. Accessed April 2, 2019.
- [5] 林突破. Dso 初始化. <https://blog.csdn.net/xxlinttp/article/details/89379785>. Accessed April 4, 2019.
- [6] 涂金戈. 直接法光度误差导数推导. <https://www.cnblogs.com/JingeTU/p/8297076.html>. Accessed April 3, 2019.
- [7] 高博. Dso 详解. <https://zhuanlan.zhihu.com/p/29177540>.